

## V-286 高軸力を受けるRC柱における帶鉄筋の拘束効果に関する研究

北海道大学 正員 堀 孝 司  
 北海道大学 正員 角田与史雄  
 Univ. of Houston S.A.Sheikh  
 Univ. of Houston C.C.Yeh

1. まえがき 地震の作用に対するRC構造物の合理的な設計法として、地震によるエネルギーを部材の塑性変形によって吸収させる方法が考えられる。その場合、強度に加えて韌性をも考慮した設計を行なわなければならない。RC部材で韌性のある耐荷挙動を得るためにには、設計で考慮した韌性ヒンジ発生可能領域に十分な帶鉄筋を配置しなければならない。これまで、帶鉄筋の拘束効果に関して多くの研究が行なわれてきたが、それらは大きく4つに分類することができる:(1)拘束コンクリートの応力-ひずみ特性に関するもの;(2)横断面のモーメント-曲率関係に関するもの;(3)部材の一般的挙動に関するもの;(4)軸鉄筋の重ね維手あるいは座屈のような付加的な問題に関するもの。それぞれの領域において解決すべき多くの問題が残されている。

土木構造物のRC柱においては、作用軸力がその軸圧縮耐力に比してかなり小さくなる設計が行なわれている。一般に、地震力の作用による構造物の挙動は複雑であり、例えば、何らかの理由により一部の柱が破壊すると、その分他の柱に負荷がかかり、十分な強度及び韌性が確保されないと、連鎖反応的に構造物が破壊する可能性がある。また、拘束効果による強度と韌性の増加を積極的に利用して柱断面を小さくすることも考えられる。しかしながら、高軸力を受けるRC柱の帶鉄筋拘束効果に関する情報はほとんどない。このようなことを背景に、最近Houston 大学において、高軸力と曲げを受けるRC柱の拘束効果に関する基礎的な

実験が行なわれた。本論は、それらの結果の一部を報告するものである。

## 2. 実験供試体及び実験方法

供試体は全部で16体であり、一辺が30cm(供試体1のみ33cm)の正方形横断面を有し、有効部材長が2.74mである。供試体には、4種類(E,A,F,D)の帶鉄筋が配置された。表.1に各供試体の詳細を示す。載荷は、図.1に示すように、所定の軸力を最初に加え、その後曲げ荷重を作用させた。軸力は常に一定に保たれた。載荷は、曲げ荷重が0になるまで、あるいは軸荷重が所定の値を保つことができなくな

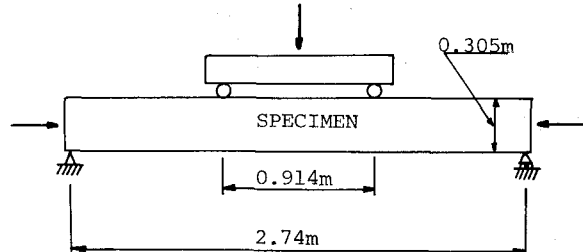


Fig.1 Loading

Table 1. Details of Test Specimens and Some Results

Specimen (Type)	$f_c$ (kg/cm <sup>2</sup> )	Longitudi- nal Steel Ratio (%)	Transverse Steel Spacing (cm)	Axial Load Ratio (%)	Curvature Ductility Factor $\mu_d$	$M$ $M_{ACI}$
1(E)	313	2.08	10.2	1.74	0.40	*
2(E)	320	2.44	11.4	1.69	0.61	10.0
3(A)	324	2.44	10.8	1.68	0.61	40.0
4(F)	328	2.44	9.5	1.68	0.60	30.0
5(D)	318	2.58	11.4	1.68	0.46	22.2
6(F)	278	2.44	17.3	1.68	0.75	3.3
7(D)	267	2.58	5.4	1.62	0.78	16.4
8(E)	264	2.44	12.7	0.84	0.78	2.9
9(F)	270	2.44	9.5	1.68	0.77	5.1
10(E)	268	2.44	6.4	1.68	0.77	4.4
11(A)	285	2.44	10.8	0.77	0.74	13.2
12(F)	342	2.44	8.9	0.82	0.60	7.1
13(E)	278	2.44	11.4	1.69	0.74	3.5
14(D)	274	2.58	10.8	0.81	0.75	3.0
15(D)	267	2.58	11.4	1.68	0.75	9.6
16(A)	346	2.44	10.8	0.77	0.60	13.5

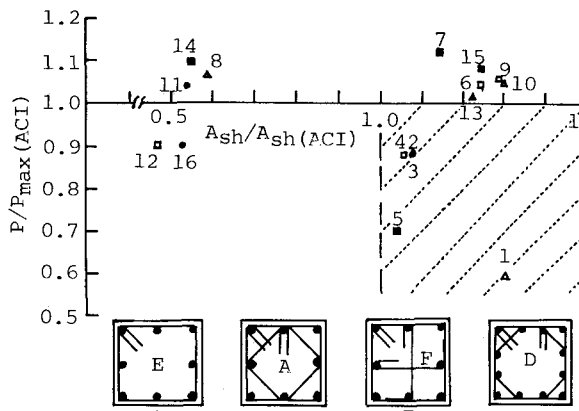


Fig.2 Relationships between test parameters and ACI code

るまで続けられた。実験では、供試体の変形とたわみ及び軸鉄筋と帶鉄筋のひずみが測定された。

3. 実験結果及び考察 図.2は、実験で用いた軸荷重レベル及び帶鉄筋量と、ACI規準によるそれらの制限値との関係を示したものであり、斜線部が規準に適合していることを示す。本実験では、基礎的な情報を得るために非常に極端な場合が考慮された。図.2と表.1の曲率剛性係数から、タイプEの帶鉄筋配置で軸力の大きな場合、ACI規準に従っても十分な韌性が得られないこと(供試体2)、90°フックを有する帶鉄筋の配置でも、軸荷重レベルが0.6程度でACI規準による帶鉄筋量を配置すれば十分な韌性が得られること(供試体4)、鉄筋量としてACI規準の要求量以上配置しても、軸荷重の制限値を超えると非常に小さな韌性しか得られないこと(供試体6, 7, 9, 10, 13, 15)、帶鉄筋量がACI規準の要求量のほぼ半分の場合、十分なじん性が得られないこと、一般に、帶鉄筋量が多く帶鉄筋形状が適当であれば韌性が大きくなり、鉄筋間隔が大きくなると韌性は小さくなること、等が分る。なお、曲率じん性係数は、モーメント-曲率曲線上で、最大モーメントの65%に相当する点と原点を結ぶ直線上の最大モーメントに対応する曲率と、下降曲線上で最大モーメントの90%に相当する曲率との比として求めた。

図.3(a)及び(b)は、モーメント-曲率関係に関する実験結果及び拘束コンクリートの応力-ひずみ関係に基づいた計算結果の比較の例を示す。軸荷重比が0.74の供試体13の場合、修正Kent and Park モデル及びSheikh and Uzumeriモデルの何れも、実験結果より大きな耐荷力を示した。軸荷重比が0.46の供試体5は、両モデルは実験結果より劣る韌性を示した。一般に、十分な帶鉄筋が配置されて高軸力を受ける場合、断面強度の増加が見られるが、上記の結果は、帶鉄筋量との関連で軸力が大き過ぎると、拘束コンクリートにおける縦ひびわれの発生によって強度の増加が得られないことを示していると思われる。强度の低減を考慮するモデルの開発が必要となろう。表.1に最大曲げモーメントとACI規準による終局曲げモーメントとの比を示す。また、図.3(c)は、モーメント-曲率関係に対する軸荷重レベルの影響の一例を示したものである。

今後、繰り返し載荷の影響をも考慮したより多くの基礎的な実験的及び解析的研究が必要である。

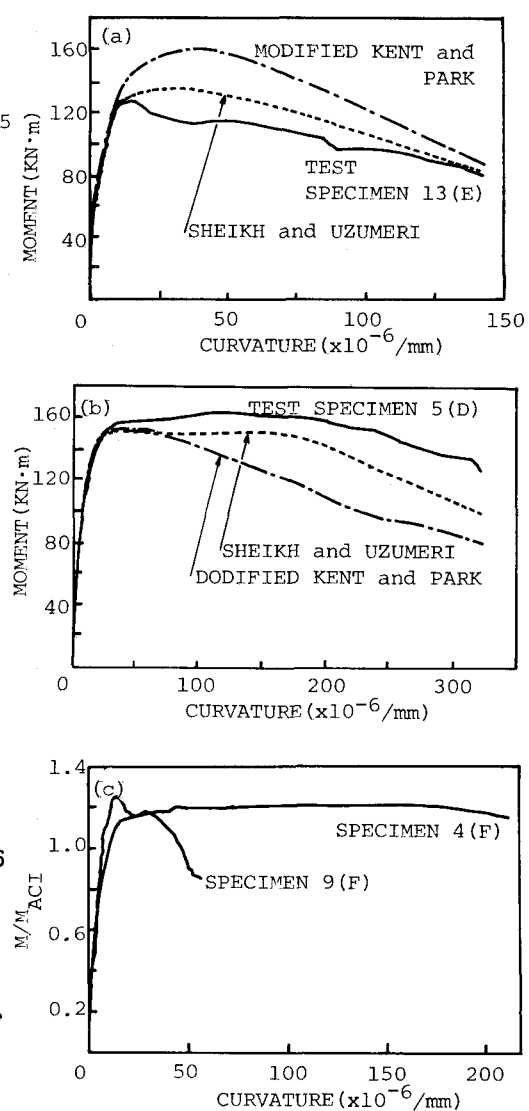


Fig.3 Moment curvature relationships